



БЕЛОРУССКИЙ ГОСУДАРСТВЕННЫЙ УНИВЕРСИТЕТ

Научно-исследовательский институт  
прикладных проблем математики и информатики



# ТЕСТИРОВАНИЕ КРИПТОГРАФИЧЕСКИХ ГЕНЕРАТОРОВ СЛУЧАЙНЫХ И ПСЕВДОСЛУЧАЙНЫХ ПОСЛЕДОВАТЕЛЬНОСТЕЙ НА ОСНОВЕ ЭНТРОПИЙНЫХ ПРОФИЛЕЙ

Владимир Юрьевич Палуха,  
Юрий Семёнович Харин

# ВВЕДЕНИЕ

Генераторы случайных и псевдослучайных последовательностей являются одним из элементов систем криптографической защиты информации (СКЗИ). Стойкость СКЗИ зависит от того, насколько близка генерируемая последовательность по своим свойствам к равномерно распределённой случайной последовательности (РРСП)<sup>1</sup>, которая на практике называется «чисто случайной». Для проверки качества криптографических генераторов используются статистические тесты, в которых проверяется гипотеза  $H_* = \{\{x_t\}$  является РРСП $\}$ . В качестве тестовой статистики целесообразно использовать статистические оценки энтропии<sup>2</sup>.

---

<sup>1</sup> Криптология / Ю. С. Харин [и др.]. – Минск: БГУ, 2013. – 512 с.

<sup>2</sup> Харин, Ю. С. Энтропийный анализ криптографических генераторов случайных и псевдослучайных последовательностей / Ю. С. Харин, В. Ю. Палуха // Веснік сувязі. – 2017. – № 6 (146). – С. 40–43.

# ФУНКЦИОНАЛЫ ЭНТРОПИИ

Пусть на вероятностном пространстве  $(\Omega, F, P)$  с множеством состояний  $\Omega = \{\omega_1, \dots, \omega_N\}$  определена случайная величина  $x = x(\omega) = \omega$  с дискретным распределением вероятностей  $p = \{p_k\}$ ,  $p_k = P\{x = \omega_k\}$ ,  $p_k \geq 0$ ,  $\sum_{k=1}^N p_k = 1$ ,  $k = 1, \dots, N$ .

Функционалы энтропии:

Энтропия Шеннона	$H(p) = -\sum_{i=1}^N p_i \ln p_i$
Энтропия Реньи	$H_r(p) = \frac{1}{1-r} \ln \left( \sum_{i=1}^N p_i^r \right), r \in \mathbb{N}, r > 1.$
Энтропия Тсаллиса	$S_r(p) = \frac{1}{r-1} \left( 1 - \sum_{i=1}^N p_i^r \right), r \in \mathbb{N}, r > 1.$

# ЧАСТОТНЫЕ ОЦЕНКИ ВЕРОЯТНОСТЕЙ

Пусть имеется случайная последовательность  $\{x_t : t = 1, \dots, n\}$  объёма  $n$  из распределения вероятностей  $\{p_k\}$ .

$$\hat{p}_k = \frac{v_k}{n}, \quad v_k = \sum_{t=1}^n I\{x_t = \omega_k\} \in \mathbb{N}_0 = \mathbb{N} \cup \{0\}, \quad I\{x_t = \omega_k\} = \begin{cases} 1, & x_t = \omega_k; \\ 0, & x_t \neq \omega_k. \end{cases} \quad (1)$$

Рассмотрим асимптотику:

$$n, N \rightarrow \infty, n/N \rightarrow \lambda, 0 < \lambda < \infty. \quad (2)$$

В асимптотике (2) для распределения вероятностей статистик  $\{v_k\}$  справедлива аппроксимация законом Пуассона  $\Pi(\lambda_k)$  с параметром  $\lambda_k = np_k$ . При истинной гипотезе  $H_*$   $p_k = 1/N, k = 1, \dots, N$ , поэтому для всех  $\{v_k\}$   $\lambda = n/N$ . Построим с помощью  $\{v_k\}$  оценки энтропии<sup>3</sup>.

---

<sup>3</sup> Палуха, В. Ю. Статистические тесты на основе оценок энтропии для проверки гипотез о равномерном распределении случайной последовательности / В. Ю. Палуха // Весці НАН Беларусі. Серыя фізіка-матэматычных навук. – 2017. – № 1. – С. 79–88.

# СТАТИСТИЧЕСКОЕ ОЦЕНИВАНИЕ ЭНТРОПИИ ШЕННОНА

Оценка энтропии Шеннона на основе частотных статистик (1):

$$\hat{H} = \hat{H}(n, N) = -\sum_{k=1}^N \hat{p}_k \ln \hat{p}_k = -\sum_{k=1}^N \frac{v_k}{n} \ln \frac{v_k}{n} = \ln n - \frac{1}{n} \sum_{k=1}^N v_k \ln v_k. \quad (3)$$

Теорема 1<sup>3</sup>. В асимптотике (2) статистика (3) при гипотезе  $H_*$  имеет асимптотически нормальное распределение с параметрами

$$\mu_H = \ln n - e^{-\lambda} \sum_{k=1}^{+\infty} \frac{\ln(k+1)\lambda^k}{k!}, \quad (4)$$

$$\sigma_H^2 = \frac{e^{-\lambda}}{n} \sum_{k=1}^{+\infty} \frac{(k+1)\lambda^k}{k!} \ln^2(k+1) - \frac{e^{-2\lambda}}{N} \left( \sum_{k=1}^{+\infty} \frac{\ln(k+1)\lambda^k}{k!} \right)^2 - \frac{e^{-2\lambda}}{n} \left( \sum_{k=1}^{+\infty} \ln(k+1) \frac{\lambda^k}{k!} (k+1-\lambda) \right)^2. \quad (5)$$

# СТАТИСТИЧЕСКОЕ ОЦЕНИВАНИЕ ЭНТРОПИИ РЕНЬИ И ТСАЛЛИСА

Энтропии Реньи и Тсаллиса являются функциями от величины

$$P_r(P) = \sum_{k=1}^N p_k^r. \quad (6)$$

Определим  $r$ -ую нисходящую факториальную степень  $x$ :

$$x^{\underline{r}} = x(x-1)\dots(x-r+1) = \frac{x!}{(x-r)!} = \sum_{i=0}^r s(r,i)x^i, \quad (7)$$

где  $s(r, i)$  – число Стирлинга первого рода; при  $x < r$  полагают  $x^{\underline{r}} ::= 0$ .

Несмещённая оценка для (6) основана на (7)<sup>4</sup>:

---

<sup>4</sup> *Acharya, J.* Estimating Renyi Entropy of Discrete Distributions / J. Acharya, [et al.] – IEEE Transactions on Information Theory. – Vol. 63. – No. 1, 2017. – P. 38–56.

$$\tilde{P}_r(P) = \sum_{k=1}^N \frac{v_k^r}{n^r}. \quad (8)$$

Полагая, что случайная величина  $v$  имеет распределение Пуассона с параметром  $\lambda$ , т.е.  $\mathcal{L}\{v\} = \Pi(\lambda)$ , получим согласно<sup>2</sup>  $E\{v^r\} = \lambda^r$ . Кроме того, согласно<sup>5</sup>,  $E\{v^r\} = \sum_{i=0}^r S(r, i)\lambda^i$ , где  $S(r, i)$  – число Стирлинга второго рода.

Статистические оценки энтропии Реньи и Тсаллиса, построенные с использованием оценки (8):

$$\hat{H}_r(n, N) = \frac{1}{1-r} \ln \left( \sum_{k=1}^N \hat{p}_k^r \right) = \ln n + \frac{1}{r-1} \left( \ln n - \ln \sum_{k=1}^N v_k^r \right), \quad (9)$$

---

<sup>5</sup> *Riordan, J.* (1937). Moment recurrence relations for binomial, Poisson and hypergeometric frequency distributions / J. Riordan // *Annals of Mathematical Statistics*. – 1937. – Vol. 8, № 2. – P. 103–111.

$$\hat{S}_r(n, N) = \frac{1}{r-1} \left( 1 - \sum_{k=1}^N \hat{p}_k^r \right) = \frac{1}{r-1} \left( 1 - \frac{1}{n^r} \sum_{k=1}^N v_k^r \right). \quad (10)$$

Теорема 2<sup>3</sup>. В асимптотике (2) статистика (10) является состоятельной асимптотически несмещённой оценкой энтропии Тсаллиса и при истинной гипотезе  $H_*$  имеет асимптотически нормальное распределение с параметрами:

$$\mu_{S,r} = \frac{1}{r-1} \left( 1 - \frac{1}{N^{r-1}} \right), \quad (11)$$

$$\sigma_{S,r}^2 = \frac{\lambda^{r-1}}{(r-1)^2 n^{2r-1}} \left( \sum_{i=2}^r s(r,i) \sum_{j=1}^{i-1} C_i^j r^{i-j} \sum_{k=1}^j S(j,k) \lambda^k - r^2 \lambda^{r-1} + r! \right). \quad (12)$$

Следствие 1. При  $r = 2$  для математического ожидания и дисперсии асимптотического распределения оценки (10) справедливы выражения:

$$\mu_{s,2} = 1 - \frac{1}{N},$$

$$\sigma_{s,2}^2 = \frac{2}{Nn^2}.$$

Теорема 3<sup>3</sup>. В асимптотике (2) статистика (9) является состоятельной оценкой энтропии Реньи и при истинной гипотезе  $H_*$  имеет асимптотически нормальное распределение с параметрами:

$$\mu_{H,r} = \ln N, \quad (13)$$

$$\sigma_{H,r}^2 = \frac{\sum_{i=2}^r s(r,i) \sum_{j=1}^{i-1} C_i^j r^{i-j} \sum_{k=1}^j S(j,k) \lambda^k - r^2 \lambda^{r-1} + r!}{(r-1)^2 n \lambda^{r-1}}. \quad (14)$$

Следствие 2. При  $r = 2$  для дисперсии асимптотического распределения вероятностей оценки (9) справедливо выражение:

$$\sigma_{H,2}^2 = \frac{2}{n\lambda}.$$

# РЕШАЮЩЕЕ ПРАВИЛО

Пусть  $\alpha \in (0, 1)$  – заданный уровень значимости. Введём обозначения:  $\hat{h}$  – статистическая оценка энтропии Шеннона (3), Реньи (9) или Тсаллиса (10),  $\mu_h$  – асимптотическое математическое ожидание статистической оценки энтропии Шеннона (4), Реньи (13) или Тсаллиса (11),  $\sigma_h^2$  – асимптотическая дисперсия статистической оценки энтропии Шеннона (5), Реньи (14) или Тсаллиса (12) при истинной гипотезе  $H_*$ . Вычислим для наблюдаемой последовательности статистику  $\hat{h}$ . Решающее правило, основанное на статистике  $\hat{h}$ , имеет вид:

$$\begin{cases} H_*, & \text{если } t_- < \hat{h} < t_+; \\ \overline{H_*}, & \text{в противном случае,} \end{cases} \quad t_{\pm} = \mu_h \pm \sigma_h \Phi^{-1} \left( 1 - \frac{\alpha}{2} \right), \quad (15)$$

где  $\Phi(\cdot)$  – функция распределения стандартного нормального закона.

# ЭНТРОПИЙНЫЙ ПРОФИЛЬ

Пусть генератор порождает двоичную выходную последовательность  $\{y_\tau\}$ ,  $\tau = 1, \dots, T$ . «Нарежем» её на непересекающиеся подряд идущие фрагменты длины  $s$  ( $s$ -граммы):  $X^{(t)} = (X_j^{(t)}) = (y_{(t-1)s+1}, \dots, y_{ts}) \in \{0, 1\}^s$ ,  $t = 1, \dots, n = [T / s]$ . Из полученных  $s$ -грамм сформируем новую последовательность  $\{x_t\}$  из алфавита мощности  $N = 2^s$  по правилу  $x_t = \sum_{j=1}^s 2^{j-1} X_j^{(t)} + 1$ .

На основе критерия (15) мы можем вычислить последовательности нормированных отклонений оценки энтропии от математического ожидания в зависимости от  $s$ , которые назовём **энтропийными профилями**:

$$\chi(s) = \frac{\hat{h}(s) - \mu_h(s)}{\sigma_h(s) \Phi^{-1}(1 - \alpha/2)}, \quad s = 1, \dots, s_+. \quad (16)$$

Тестирование с помощью профиля позволяет выносить решение о принятии или отклонении гипотезы  $H_*$  на основе решающего правила (15) по последовательности значений  $\chi(s)$  для различных  $s$ ; такое решение видится более аргументированным, чем при принятии его по результатам применения теста (15) для одного значения  $s$ .

Представляют теоретический и практический интерес задачи исследования стохастической зависимости статистик  $\chi(s)$  в (16). Исследуем зависимость соседних статистик  $\chi(s)$  и  $\chi(s + 1)$ . Для этого вначале исследуем зависимость частотных оценок (1). Пусть  $\{\hat{p}_i(s)\}$  и  $\{\hat{p}_k(s + 1)\}$  – частотные оценки (1), вычисленные для  $s$ - и  $(s + 1)$ -грамм соответственно,  $i = 0, \dots, 2^s - 1, k = 0, \dots, 2^{s+1} - 1$ . Справедлива следующая теорема о коэффициенте корреляции частотных оценок вероятностей  $s$ - и  $(s + 1)$ -грамм.

Теорема 4. При истинной гипотезе  $H_*$  для коэффициента корреляции

$$\text{Corr}_* \{ \hat{p}_i(s), \hat{p}_k(s+1) \} = \frac{\text{cov}_* \{ \hat{p}_i(s), \hat{p}_k(s+1) \}}{\sqrt{D_* \{ \hat{p}_i(s) \} D_* \{ \hat{p}_k(s+1) \}}}$$

частотных оценок вероятностей произвольной пары  $s$ - и  $(s+1)$ -грамм  $(i, k)$ ,  $i = 0, \dots, 2^s - 1$ ,  $k = 0, \dots, 2^{s+1} - 1$ , справедлива двусторонняя оценка

$$\begin{aligned} & -2 \sqrt{\frac{s}{(s+1)(2^s - 1)(2^{s+1} - 1)}} \leq \\ & \leq \text{Corr}_* \{ \hat{p}_i(s), \hat{p}_k(s+1) \} \leq \frac{2^{s+2} - 2s - 4}{\sqrt{s(s+1)(2^s - 1)(2^{s+1} - 1)}}. \end{aligned}$$

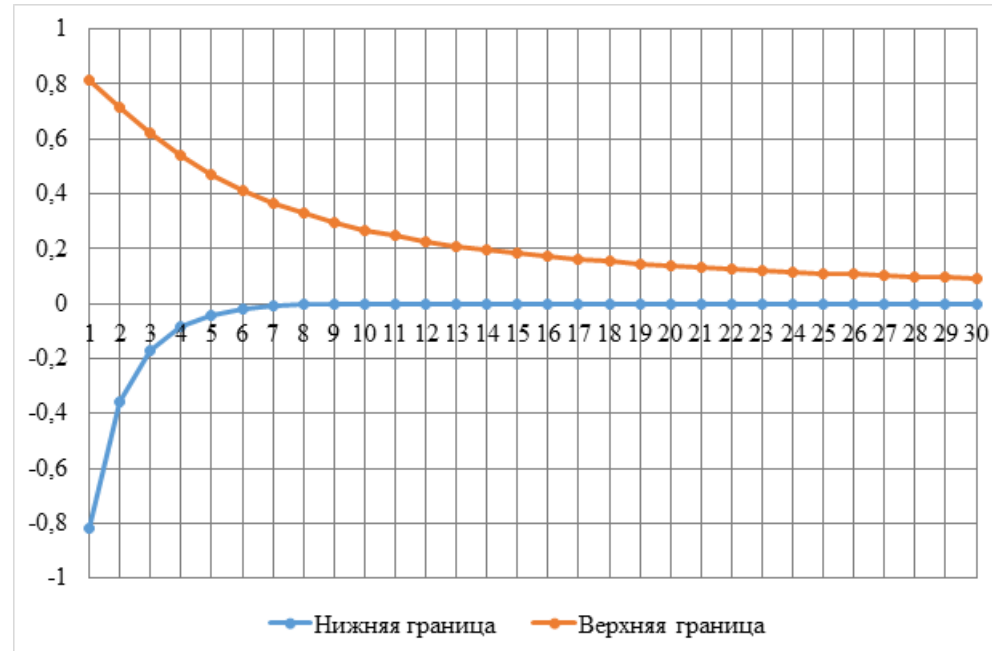


Рисунок 1. – Границы коэффициента корреляции частотных оценок

На рисунке 1 представлена зависимость верхней и нижней границы коэффициента корреляции частотных оценок вероятностей  $s$ - и  $(s + 1)$ -грамм от  $s$ . Из рисунка видно, что модуль коэффициента корреляции стремится к 0 с ростом  $s$ . Следовательно, зависимость между оценками энтропии  $h_s$  и  $h_{s+1}$  по  $s$ - и  $(s + 1)$ -граммам также будет слабой, что позволяет выносить решение о качестве генератора по его энтропийному профилю, пренебрегая этой зависимостью.

# КОМПЬЮТЕРНЫЕ ЭКСПЕРИМЕНТЫ

На рисунке 2 представлен энтропийный профиль Тсаллиса выходной последовательности программного самосжимающегося генератора на основе РСЛОС с многочленом  $x^{24} + x^{11} + x^5 + x^2 + 1$  при фиксированном значении  $\lambda = 2$  при  $r = 2$  на уровне значимости  $\alpha = 0.05$ .

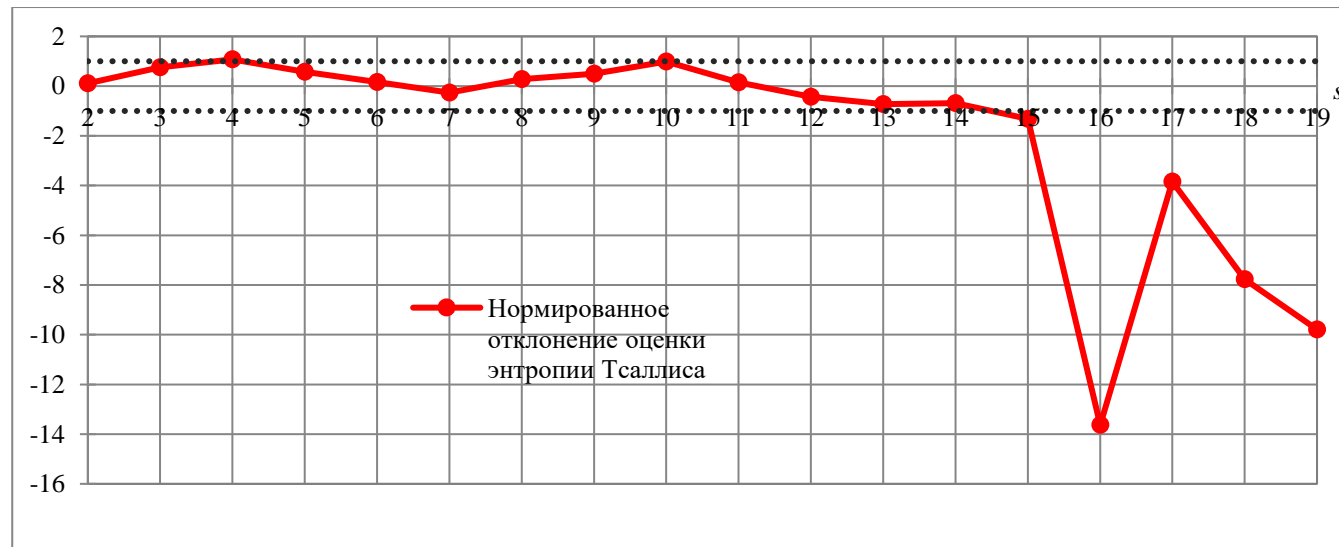


Рисунок 2. – Энтропийный профиль Тсаллиса самосжимающегося генератора

# ПРОГРАММНЫЙ КОМПЛЕКС

В настоящее время в НИИ ППМИ ведётся разработка программного комплекса (ПК) энтропийного анализа выходных последовательностей криптографических генераторов, который позволит автоматизировать процесс принятия решений и визуализации энтропийных профилей последовательностей. На рисунке 3 представлен результат работы ПК по энтропийному анализу выходной двоичной последовательности физического генератора<sup>6</sup> длиной  $T = 125 \cdot 2^{25}$  бит. Выведены на экран энтропийные профили Шеннона, Реньи и Тсаллиса.

---

<sup>6</sup> speedtest-500MB.bin [Electronic resource] // Humboldt Berlin University, Faculty of Mathematics and Natural Sciences, Department of Physics. – Mode of access: <http://qrng.physik.hu-berlin.de/files/speedtest-500MB.bin>.

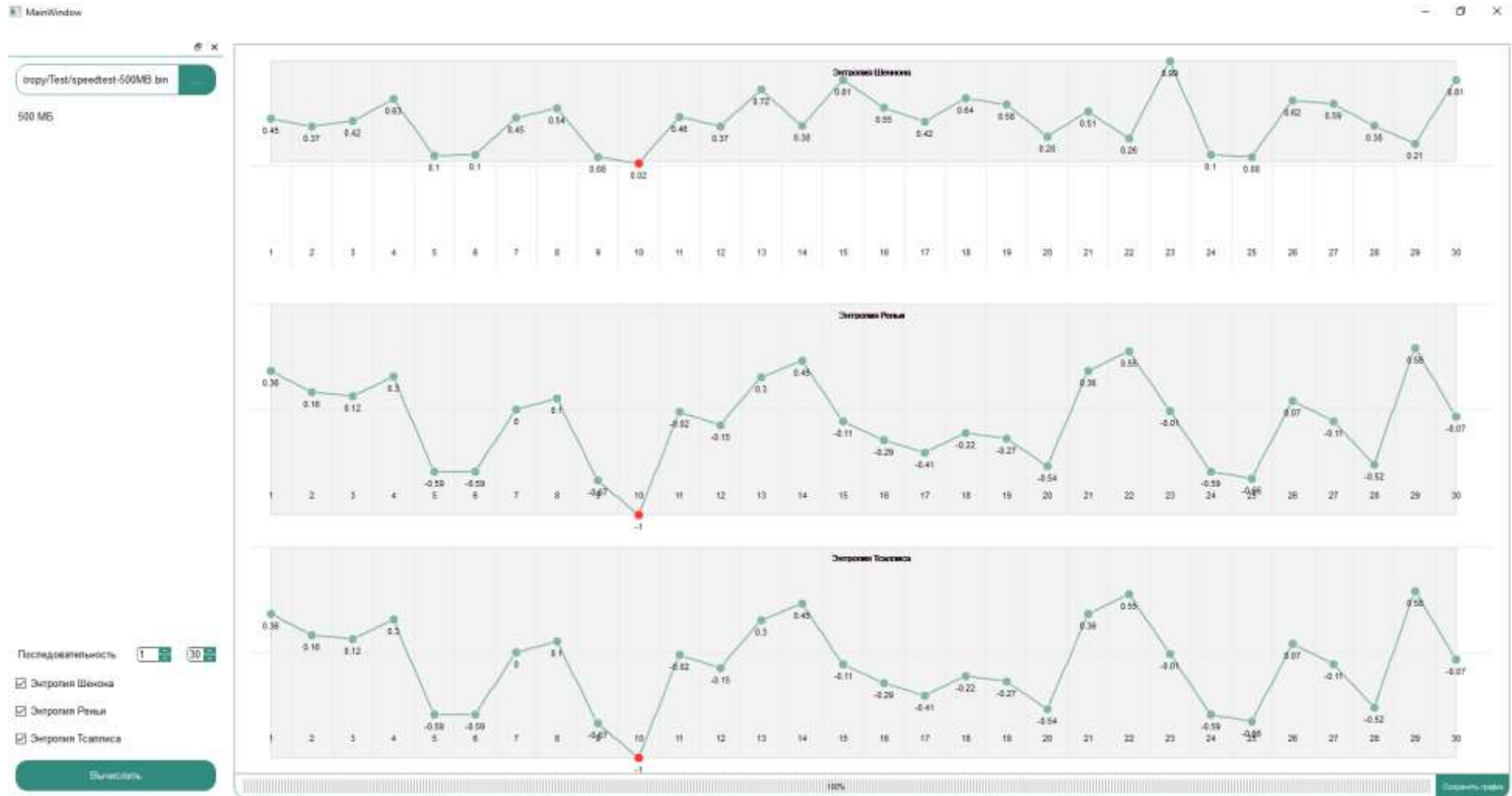


Рисунок 3. – Энтропийные профили физического генератора

**СПАСИБО ЗА ВНИМАНИЕ!**